



انجمن حفاظت در برابر اشغال ایران

## مقاله پژوهشی

مجله سنجش و ایمنی پرتو، جلد ۷، شماره ۳، تابستان ۱۳۹۸، صفحه ۸-۱

تاریخ دریافت مقاله: ۱۳۹۸/۰۳/۰۷، تاریخ پذیرش مقاله: ۱۳۹۸/۰۵/۱۳



# تخمین پارامترهای دزیمتری کپسول برآکی تراپی I-125 مدل ۶۷۱۱ با استفاده از کد GATE 8.1

زنب فردی و پیوند طاهرپور\*

گروه فیزیک، دانشکده علوم پایه، دانشگاه گیلان، رشت، گیلان، ایران.

\* گیلان، رشت، دانشگاه گیلان، دانشکده علوم پایه، گروه فیزیک، کد پستی: ۴۱۹۳۸-۳۳۶۹۷

پست الکترونیکی: p.taherparvar@guilan.ac.ir

## چکیده

برآکی تراپی نوع خاصی از پرتو درمانی است که در آن چشمہ پرتوزا در داخل بدن بیمار و در نزدیکی (و یا در داخل) تومور قرار می‌گیرد. در این بین، تعیین توزیع دز پیرامون چشممهای مورد استفاده در برآکی تراپی برای اهداف طراحی درمان بسیار با اهمیت است. در این تحقیق، پارامترهای دزیمتری توصیه شده توسط پروتکل AAPM TG43-U1، نظر ثابت آهنگ دز، تابع دز شعاعی و تابع ناهمسانگردی چشمہ برآکی تراپی I-125 مدل ۶۷۱۱ با استفاده از کد شبیه‌سازی مونت کارلو GATE در فاتحوم آب محاسبه و اعتبارسنجی شده است، و در ادامه، با توجه به ساختار متفاوت بافت‌های مختلف بدن نسبت به فاتحوم آب، نتایج مربوط به محاسبات دزیمتری، به بافت‌های چربی، سینه، ریه، دو نوع بافت نرم و ماهیچه تعیین داده شد. شبیه‌سازی‌ها نشان‌دهنده تفاوت محسوس دز جذبی در برخی از بافت‌ها، نسبت به فاتحوم آب (که توسط پروتکل استاندارد AAPM TG43-U1 پیشنهاد می‌شود) است، به طوری که تغییرات مربوط به تابع دز شعاعی در بافت چربی در فاصله ۵ cm از مرکز چشمہ به ۶۸/۷٪ نیز خواهد رسید. نتایج به دست آمده بیانگر آن است که پارامترهای دزیمتری چشمہ برآکی تراپی I-125 را می‌توان، علی‌رغم انرژی تابشی پایین و تغییرات شدید دز با افزایش فاصله از مرکز چشمہ، با استفاده از کد GATE و فهرست فیزیکی مناسب محاسبه کرده و در راستای توسعه نرم‌افزارهای طراحی درمان برآکی تراپی مورد استفاده قرار داد.

کلیدواژگان: برآکی تراپی، چشمہ I-125، دزیمتری، کد GATE، پروتکل TG43-U1.

## ۱. مقدمه

تحویل حداکثر دز به تومور، از مزایای اصلی استفاده از این روش نسبت به روش‌های دیگر از جمله جراحی و پرتو درمانی خارجی است [۱].

به صورت معمول در برآکی تراپی، چشمہ (چشممهای) پرتوزای گسیلنده بتا و یا (در بیشتر موارد) گاما به صورت جامد و به شکل دانه‌ای، سوزن و یا کپسول در نزدیکی حجم

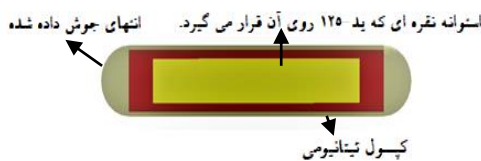
در پرتو درمانی خارجی چشمہ پرتوزا در فاصله‌ای از بدن بیمار قرار گرفته که همین امر سبب دریافت تابش‌گیری ناخواسته توسط سایر اندام‌های سالم می‌شود اما در روش‌های رادیو تراپی داخلی (برآکی تراپی) با متمنکر شدن پرتوهای بونیزان بر روی تومور، از پرتوگیری بافت سالم تاحد زیادی کاسته می‌شود. کاهش دز رسیده به قسمت‌های سالم بافت تحت درمان و

گرفت و میزان اختلاف حاصله در محاسبه دز، نسبت به فانتوم آب ارائه شده است.

## ۲. مواد و روش‌ها

### ۱.۲. مشخصات چشم

کپسول پرتوزایی برآکی تراپی مدل ۶۷۱۱ شبیه‌سازی شده در این مطالعه از جنس تیتانیوم با قطرهای داخلی و خارجی به ترتیب mm ۰/۸ و mm ۰/۴ در دو انتهای کپسول است. قسمت فعال چشم‌های از جنس نقره با چگالی  $gr/cm^3$  ۱۰/۴۹ و طول mm ۳ و شعاع mm ۰/۲۵ می‌باشد. بر روی این استوانه I-125 به ضخامت یک میکرومتر قرار گرفته است [۴]. در شکل ۱ کپسول شبیه‌سازی شده توسط کد GATE به نمایش در آمده است.



شکل (۱): کپسول شبیه‌سازی شده توسط کد GATE ۸.۱

طیف انرژی فوتون I-125 که در شبیه‌سازی‌ها مورد استفاده قرار گرفت، مطابق دستورالعمل TG43-U1 می‌باشد [۴] که در جدول ۱ نشان داده شده است.

جدول (۱): طیف چشم I-125 بطبق دستورالعمل [۴] TG43-U1

انرژی فوتون (keV)	تعداد فوتون در هر واپاشی
۲۷/۲۰۲	۰/۴۰۶۰
۲۷/۴۷۲	۰/۷۵۷۰
۳۰/۹۸۰	۰/۲۰۲۰
۳۱/۷۱۰	۰/۰۴۳۹
۳۵/۴۹۲	۰/۰۶۶۸

هدف یا در داخل بافت آسیب‌دیده بدن بیمار قرار می‌گیرند [۱-۳]. یکی از پرکاربردترین رادیوایزوتوپ‌های مورد استفاده در برآکی تراپی I-125 می‌باشد. این رادیوایزوتوپ یک گسیلنده گاما با نیمه عمر ۵۹/۴۳۱ روز می‌باشد که دز ناشی از آن در فواصل زیاد از چشم به شدت کاهش پیدا می‌کند، بنابراین به عنوان یک ایزوتوپ مناسب در میان چشم‌های برآکی تراپی محسوب می‌شود و کاربردهای ویژه‌ای در درمان افراد مبتلا به سرطان‌های سر و گردن، سینه، سرویکس، پروستات، کیسه صفراء، مری، چشم، ریه و ... یافته است [۳].

به منظور شناسایی دقیق چشم‌های برآکی تراپی پیش از کاربرد بالینی آنها، بهره‌گیری از محاسبات دزیمتري با دقت زیاد بر اساس پروتکلهای استاندارد بسیار ضروری است. از این رو، انجمن فیزیک پزشکی آمریکا (AAPM) کار گروه ویژه‌ای تحت عنوان TG43-U1 را به منظور بررسی و تعیین پارامترهای مورد نیاز برای چشم‌های پرتوزایی مورد استفاده در برآکی تراپی تشکیل داده است [۴]. از آن جایی که استفاده از روش‌های تجربی برای محاسبه توزیع دز چشم‌های برآکی تراپی با محدودیت‌های فراوانی روبرو است بنابراین یکی از روش‌های کارآمد برای محاسبه این پارامترها (و مورد تأیید AAPM) محاسبه توزیع دز در محیط آب با استفاده از روش شبیه‌سازی مونت‌کارلو می‌باشد [۱، ۴].

با توجه به موارد یاد شده، در این مقاله ابتدا به ارزیابی و تعیین پارامترهای دزیمتري چشم I-125 در ۶۷۱۱ مدل I-125 در فانتوم آب به کمک کد مونت‌کارلو GATE، پرداخته شده است و نتایج به دست آمده با نتایج حاصل از سایر پژوهش‌ها در این زمینه مقایسه شد. در ادامه به منظور بررسی پارامتر تابع دز شعاعی در بافت‌های مختلف، شبیه‌سازی‌های مربوط به این پارامتر در بافت‌های ماهیچه، چربی، ریه، سینه، بافت نرم (با ۴ عنصر سازنده) و بافت نرم (با ۹ عنصر سازنده) انجام

در نقطه مرجع و  $G(r, \theta_0)$  تابع هندسه در فاصله  $r$  و زاویه  $\theta_0$  درجه می‌باشد [۴]. تابع هندسه برای چشم خطی از روابط زیر بدست می‌آید:

$$G(r, \theta) = \begin{cases} \frac{\beta}{Lr \sin \theta}, & \theta \neq 0^\circ \\ (r^2 - \frac{L^2}{4})^{-1}, & \theta = 0^\circ \end{cases} \quad (4)$$

که در آن  $L$  طول فعال چشم و  $r$  فاصله از مرکز چشم می‌باشد و زاویه  $\beta$  نیز در شکل ۲ به نمایش درآمده است [۴]. پارامتری دیگر در ارزیابی چشم، تابع ناهمسانگردی است که بیانگر آثار پراکندگی و جذب فوتون‌ها در آب در اطراف چشم است و با معادله ۵ بیان می‌شود [۶].

$$F(r, \theta) = \frac{\dot{D}(r, \theta)G(r, \theta_0)}{\dot{D}(r, \theta_0)G(r, \theta)} \quad (5)$$

که در آن  $\dot{D}(r, \theta)$  و  $G(r, \theta)$  به ترتیب، آهنگ دز و تابع هندسه در فاصله  $r$  و زوایای مختلف از مرکز چشم می‌باشند [۴].

### ۳.۲. روش شبیه‌سازی

شبیه‌سازی‌های انجام گرفته با استفاده از کد مونت‌کارلو GATE نسخه ۸/۱ انجام شده است. کد GATE یکی از قدرتمندترین ابزارهای شبیه‌سازی در زمینه پزشکی هسته‌ای به کمک روش مونت‌کارلو است که کاربردهای ویژه‌ای در تصویربرداری پزشکی هسته‌ای [۷] و نیز پرتو درمانی [۳] یافته است. در این ابزار پس از ساخت هندسه، چشم و بخش‌های مختلف دیگر، تعریف فرآیندهای فیزیکی برای برهمکنش ذرات مختلف باید مورد استفاده قرار گیرد. در این پژوهش از مدل فیزیکی Emstandard استفاده شد (که یک فهرست فیزیکی استاندارد برای برهمکنش‌های الکترومغناطیسی محاسبه می‌شود [۸]). با تعداد تاریخچه در نظر گرفته شده  $10^5$ ، میزان پیشینه خطای آماری محاسبه شده برای دز که

### ۲.۲. پارامترهای دزیمتري

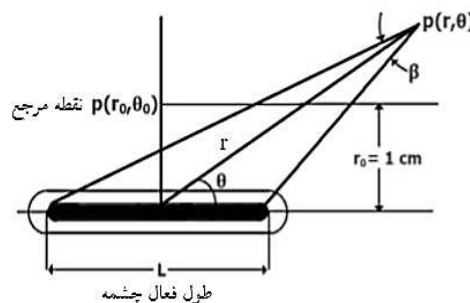
طبق توصیه‌های TG43-U1 [۴] ثابت آهنگ دز، به صورت نسبت آهنگ دز در فاصله یک سانتی‌متری روی محور عمود بر چشم (که نقطه مرجع نام دارد) به قدرت کرمای هوا، تعریف می‌شود:

$$\Lambda = \frac{\dot{D}(r_0, \theta_0)}{S_k} \quad (1)$$

در رابطه فوق  $S_k$  قدرت کرمای هواست که معیاری از شدت چشم می‌باشد و به صورت حاصل‌ضرب آهنگ کرمای هوا در محدوده فاصله از مرکز چشم (d) تعریف می‌شود:

$$S_k = \dot{K}d^2 \quad (2)$$

مقادیر  $r$  و  $\theta$  مطابق شکل ۲ تعریف شده است.



شکل (۲): هندسه در نظر گرفته شده برای محاسبات دزیمتري [۵].

پارامتر مورد توجه دیگر در ارزیابی کنترل کیفی چشم، تابع دز شعاعی است که بیانگر آثار جذب و پراکندگی فوتون‌ها در محیط آبی و در راستای محور عمود بر چشم می‌باشد:

$$g(r) = \frac{\dot{D}(r, \theta_0)G(r_0, \theta_0)}{\dot{D}(r_0, \theta_0)G(r, \theta_0)} \quad (3)$$

که در آن،  $\dot{D}(r, \theta_0)$  آهنگ دز در فاصله  $r$  (فاصله از مرکز چشم) و در زاویه  $90^\circ$  درجه،  $\dot{D}(r_0, \theta_0)$  آهنگ دز در نقطه مرجع ( $r = 1\text{cm}$ ,  $\theta = 90^\circ$ ) تابع هندسه

سازانده و بافت نرم با عنصر سازنده [۹,۱۰] با چگالی‌های به ترتیب:  $0.95, 1.05, 1.02, 1.05, 1.06$  میکرون میکرومتری در  $0.95, 1.05, 1.02, 1.05, 1.06$  میکرون میکرومتری در ترکیبات بافت‌های مختلف به کار رفته در این تحقیق بر اساس گزارش ICRU ۴۴ [۱۱] انتخاب شد.

### ۳. نتایج

در ابتدا ثابت آهنگ دز چشم مورد نظر به صورت  $0.987 \text{ cGy/hU}$  محاسبه شد که در مقایسه با نتایج مربوط به ریوارد و همکارانش [۴] که مقدار  $0.965 \text{ cGy/hU}$  را به دست آورده اختلافی قابل قبول و در حدود  $2.3\%$  را نشان می‌دهد. در ادامه به ارزیابی نتایج مربوط به تابع دز شعاعی، (۲)، به کمک کد GATE، در فانتوم آب پرداخته شد (جدول ۲).

توسط خروجی کد GATE ثبت شده در حدود ۳ درصد بود. به کمک شبیه‌سازی‌های انجام شده، پارامترهای دزیمتري در فوائل مختلف از مرکز چشم از  $0.1 \text{ cm}$  تا  $10 \text{ cm}$  و زوایای  $0^\circ$  تا  $90^\circ$  درجه در فانتوم کروی آب با چگالی  $1 \text{ gr/cm}^3$  و به شعاع  $20 \text{ cm}$  محاسبه و با نتایج حاصل از سایر پژوهش‌ها مقایسه شد. برای محاسبه دز در اطراف چشم مورد نظر حلقه‌هایی به ضخامت  $4 \text{ mm}$  در نظر گرفته شد [۳]. از آنجایی که استفاده از محیط آب به عنوان محیط مرجع در پروتکل TG43-U1 برای تعیین پارامترهای دزیمتري کپسول‌های برآکی تراپی، به منظور برآورده از توزیع دز در موارد بالینی، سبب نتایج به نسبت متفاوتی می‌گردد، بنابراین برای بررسی این اختلاف به وجود آمده، تابع دز شعاعی کپسول ۶۷۱۱ علاوه بر فانتوم آب در بافت‌های ماهیچه، چربی، ریه، سینه، مغز، بافت نرم با عنصر

جدول (۲): نتایج تابع دز شعاعی در این تحقیق و مقایسه آن با سایر پژوهش‌ها.

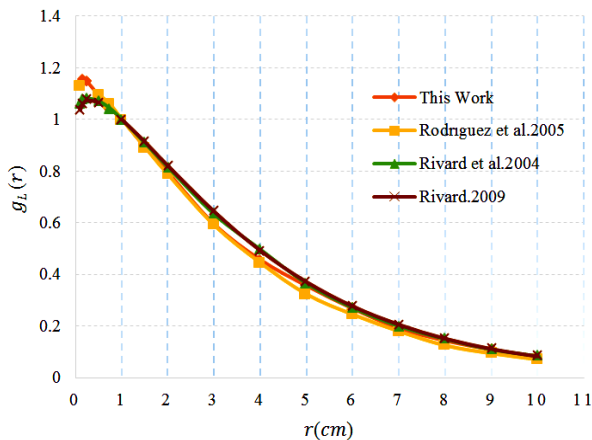
Rivard. 2009 [12]	Rivard et al. 2004 [4]	Rodriguez et al. 2005 [1]	مطالعه حاضر	فاصله از مرکز چشم(r(cm))
1.036	1.005	1.1287	1.136	0.1
1.057	1.078	-	1.152	0.15
1.074	1.082	-	1.145	0.25
1.066	1.071	1.0960	1.092	0.5
-	1.042	1.0575	1.041	0.75
1	1	1	1	1
0.913	0.908	0.8923	0.892	1.0
0.820	0.814	0.7862	0.794	2
0.643	0.632	0.5899	0.594	3
0.491	0.496	0.4443	0.456	4
0.370	0.364	0.3224	0.350	5
0.276	0.270	0.2443	0.267	6
0.205	0.199	0.1792	0.191	7
0.151	0.149	0.1244	0.143	8
0.111	0.109	0.0937	0.108	9
0.0820	0.083	0.0702	0.079	10

است. همان‌طور که در شکل ۳ مشاهده می‌شود، توافق خوبی بین نتایج حاصل از GATE و سایر پژوهش‌های صورت گرفته در این زمینه وجود دارد. میانگین اختلاف نسبی این

همچنین به منظور اعتبارسنجی داده‌ها، مقایسه نتایج حاصل از این شبیه‌سازی‌ها با نتایج رودریگز و همکارانش [۱]، ریوارد و همکارانش [۴] و ریوارد [۱۲] در شکل ۳ نشان داده شده

ناهمسانگردی چشمه I-125 مدل ۶۷۱۱ در زوایای مختلف و در فواصل ساعی ۰/۵، ۱، ۲، ۳، ۵ و ۷ سانتی متر محاسبه شد که نتایج حاصل از آن در جدول ۳ ارائه شده است.

پارامتر در مقایسه با داده های گزارش شده توسط رودریگز و همکارانش [۱]، ریوارد و همکارانش [۴] و ریوارد [۱۲] به ترتیب در حدود ۰/۵/۸٪، ۰/۳/۶۱٪ و ۰/۵/۲٪ می باشد که مطابقت خوب این نتایج را نشان می دهد. در ادامه تابع



شکل (۳): نمودار تابع دز ساعی در این تحقیق و مقایسه با نتایج سایر پژوهش ها.

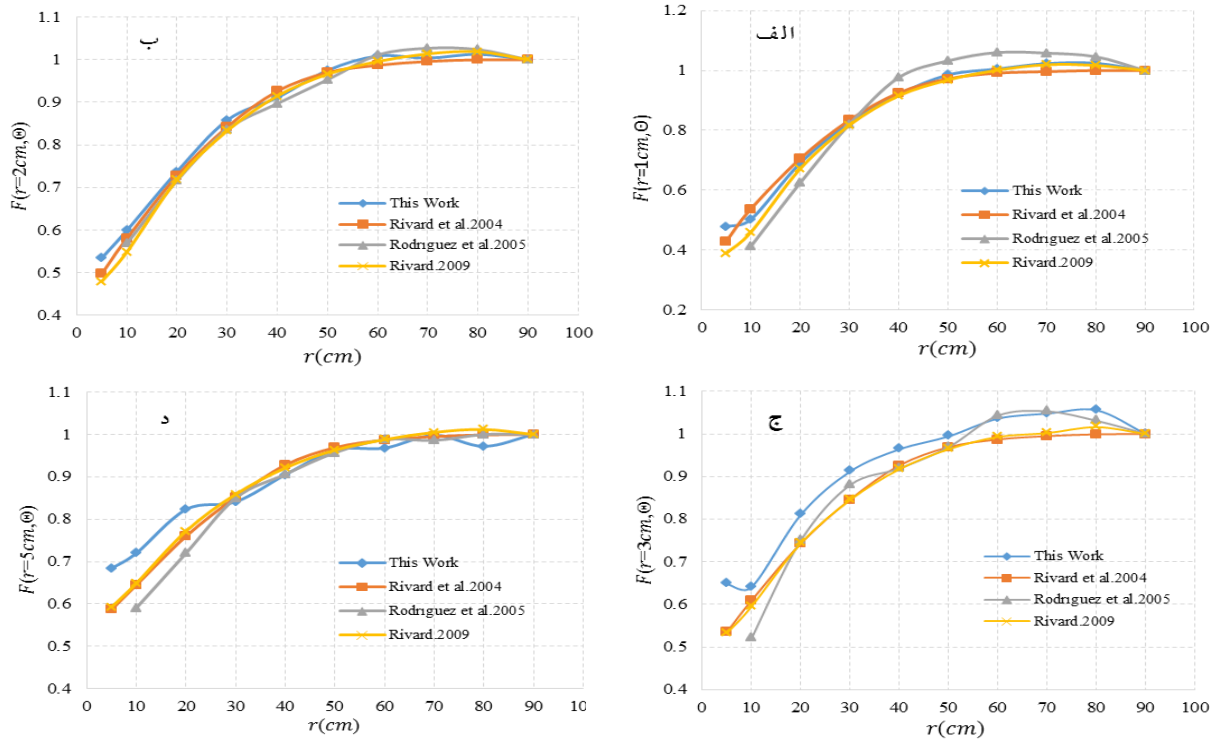
جدول (۳): تابع ناهمسانگردی محاسبه شده توسط کد GATE چشمه I-125 مدل ۶۷۱۱.

r(cm)/۰°	۰/۵	۱	۲	۳	۵	۷
۰/۳۵۳	۰/۴۷۸	۰/۰۳۴	۰/۷۴۸	۰/۷۸۴	۰/۷۴۹	۰/۷۴۹
۰/۴۳۸	۰/۰۰۲	۰/۰۹۹	۰/۷۴۰	۰/۷۲۰	۰/۷۳۵	۰/۷۳۵
۰/۰۵۷	۰/۶۱۱	۰/۷۷۷	۰/۷۳۱	۰/۷۵۶	۰/۷۵۴	۰/۷۵۴
۰/۶۵۸	۰/۶۹۰	۰/۷۳۸	۰/۷۳۸	۰/۸۲۳	۰/۸۶۲	۰/۸۶۲
۰/۸۳۸	۰/۸۲۶	۰/۸۵۸	۰/۸۵۸	۰/۸۴۱	۰/۹۳۶	۰/۹۳۶
۰/۹۴۵	۰/۹۲۰	۰/۹۱۱	۰/۹۶۴	۰/۹۰۵	۰/۸۹۸	۰/۸۹۸
۱/۰۰۷	۰/۹۸۵	۰/۹۷۵	۰/۹۹۴	۰/۹۶۳	۰/۱۰۰۹	۱/۰۰۹
۱/۰۲۷	۱/۰۰۵	۱/۰۰۹	۱/۰۳۶	۰/۹۴۸	۱/۰۲۴	۱/۰۲۴
۱/۰۳۹	۱/۰۲۳	۱/۰۰۴	۱/۰۴۸	۰/۹۹۸	۱/۰۰۱	۱/۰۰۱
۱/۰۴۸	۱/۰۲۴	۱/۰۱۳	۱/۰۵۵	۰/۹۵۳	۱/۰۷۱	۱/۰۷۱
۱/۰۰۰	۱/۰۰۰	۱/۰۰۰	۱/۰۰۰	۱/۰۰۰	۱/۰۰۰	۱/۰۰۰

برای ۳ cm و ۵ cm در فاصله ۵ cm از مرکز چشم خواهد بود.

برای تعیین اختلاف به وجود آمده ناشی از استفاده از فاتوم آب به جای بافت های متفاوت بدن (که در موارد بالینی مورد توجه است)، در این مطالعه تابع دز ساعی این چشم موردنی انتخاب شده است. بافت مختلف شامل: چربی، ماهیچه، ریه، سینه، مغز، بافت نرم (با ۴ عنصر سازنده) و بافت نرم (با ۹ عنصر سازنده) موردن ارزیابی قرار گرفت و داده های به دست آمده با نتایج

مقایسه نتایج تابع ناهمسانگردی به دست آمده از GATE و داده های رودریگز و همکارانش [۱]، ریوارد و همکارانش [۴] و ریوارد [۱۲] در ۴ فاصله ساعی ۱، ۲، ۳ و ۵ سانتی متر در شکل ۴ ارائه شده است. نتایج نشان می دهد که میانگین اختلاف تابع ناهمسانگردی حاصل از این مطالعه در مقایسه با نتایج رودریگز و همکارانش [۱]، ریوارد و همکارانش [۴] و ریوارد [۱۲]، به ترتیب معادل با ۰/۷/۷٪، ۰/۳/۲٪ و ۰/۴/۴٪ برای ۱ cm، ۰/۷/۲٪ و ۰/۳/۴٪ برای ۲ cm، ۰/۵/۷٪ و ۰/۷/۲٪ برای ۳ cm و ۰/۲/۲٪ و ۰/۲/۳٪ برای ۵ cm



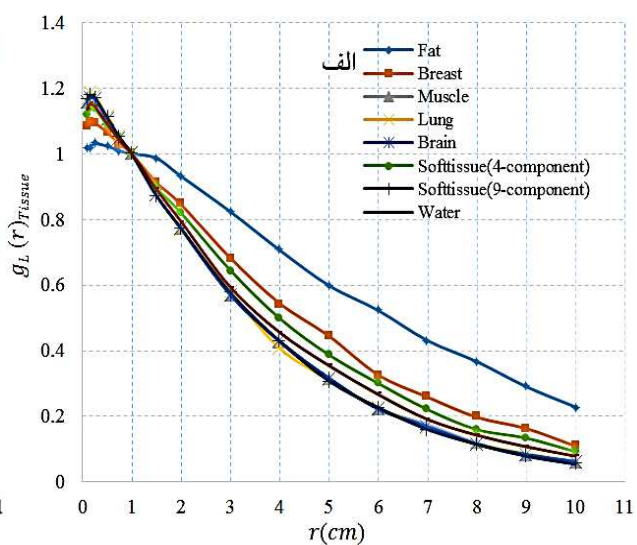
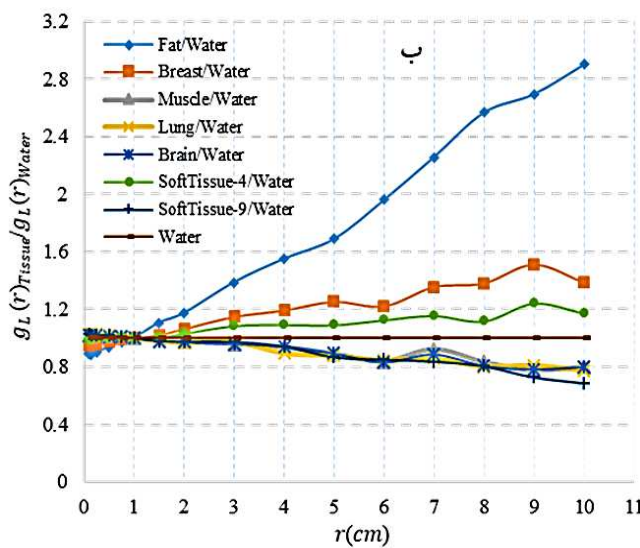
حاصل از فانتوم آب، مقایسه شد. نتایج تابع دز شعاعی در شکل (۴): نمودارهای مقایسه تابع ناهمسانگردی چشمچه I-125 مدل ۶۷۱ با نتایج سایر پژوهش‌ها در فواصل (الف) ۱ cm، (ب) ۲ cm، (ج) ۳ cm و (د) ۵ cm.

جدول (۴): تابع دز شعاعی محاسبه شده توسط کد GATE در بافت‌های مختلف.

فانتوم آب	بافت سنینه	بافت ریه	بافت مغز	بافت نرم (۴ عنصر سازنده)	بافت نرم (۹ عنصر سازنده)	بافت ماهیچه	بافت چربی	r(cm)
۱/۱۳۶	۱/۰۸۲	۱/۱۷۹	۱/۱۶۰	۱/۱۲۲	۱/۱۶۶	۱/۱۶	۱/۰۱۷	۰/۱
۱/۱۵۲	۱/۰۹۸	۱/۱۸۴	۱/۱۷۲	۱/۱۴۰	۱/۱۷۹	۱/۱۲۰	۱/۰۱۹	۰/۱۰
۱/۱۴۵	۱/۰۹۵	۱/۱۷۵	۱/۱۶۶	۱/۱۳۸	۱/۱۷۲	۱/۱۱۰	۱/۰۳۱	۰/۲۰
۱/۰۹۲	۱/۰۶۶	۱/۱۱۴	۱/۱۰۷	۱/۰۸۸	۱/۱۱۲	۱/۱۰۹	۱/۰۲۴	۰/۵
۱/۰۴۱	۱/۰۳۰	۱/۰۵۰	۱/۰۴۵	۱/۰۵۰	۱/۰۵۱	۱/۱۰۰	۱/۰۱	۰/۷۵
۱	۱	۱	۱	۱	۱	۱	۱	۱
۰/۸۹۲	۰/۹۱۳	۰/۷۶۸	۰/۸۷۴	۰/۸۹۸	۰/۸۷۳	۰/۷۸۳	۰/۹۸۷	۱/۵
۰/۷۹۴	۰/۸۴۶	۰/۷۷۰	۰/۷۷۳	۰/۸۲۰	۰/۷۷۴	۰/۷۷۳	۰/۹۳۲	۲
۰/۵۹۴	۰/۷۸۳	۰/۵۸۰	۰/۵۷۰	۰/۶۴۵	۰/۵۷۸	۰/۵۷۱	۰/۸۲۴	۳
۰/۴۵۶	۰/۵۴۵	۰/۴۰۸	۰/۴۳۰	۰/۴۹۹	۰/۴۲۹	۰/۴۲۷	۰/۷۰۷	۴
۰/۳۵۵	۰/۴۴۵	۰/۳۱۲	۰/۳۱۷	۰/۳۸۸	۰/۳۰۸	۰/۳۱۶	۰/۰۹۹	۵
۰/۲۶۷	۰/۳۲۷	۰/۲۲۶	۰/۲۲۲	۰/۳۰۱	۰/۲۲۷	۰/۲۲۴	۰/۰۲۳	۶
۰/۱۹۱	۰/۲۵۹	۰/۱۶۴	۰/۱۶۹	۰/۲۲۱	۰/۱۶۰	۰/۱۷۶	۰/۸۳۱	۷
۰/۱۴۳	۰/۱۹۸	۰/۱۱۵	۱۱۵	۰/۱۶۰	۰/۱۱۶	۰/۱۱۹	۰/۳۶۷	۸
۰/۱۰۸	۰/۱۶۳	۰/۰۸۸	۰/۰۸۵	۰/۱۳۴	۰/۰۷۹	۰/۰۸۴	۰/۲۹۱	۹
۰/۰۷۹	۰/۱۱۰	۰/۰۶۱	۰/۰۶۳	۰/۰۹۳	۰/۰۰۵	۰/۰۳	۰/۲۲۹	۱۰

در فواصل نزدیک به مرکز چشمۀ حداکثر اختلاف ۰/۴٪ خواهد بود. در فاصله ۵ cm این اختلاف به ۲۵/۴٪ می‌رسد. اختلاف مشاهده شده در استفاده از فانتوم آب به جای بافت مغز در فواصل کمتر از ۱ cm، تقریباً ۲۰/۸٪ می‌باشد و در فاصله ۵ cm به مقدار ۱۰/۷۱٪ می‌رسد. بافت نرم با ۴ اجزای سازنده در فاصله ۵ cm اختلاف ۹/۲۵٪ را نشان می‌دهد درحالی‌که در بافت نرم با ۹ اجزای سازنده این اختلاف برابر با ۱۳/۲۴٪ است که نشان‌دهنده تضعیف بیشتر فوتون در این بافت می‌باشد. بافت ماهیچه و ریه دارای ترکیبات و درصد وزنی نزدیک به آب می‌باشند بنابراین محاسبه تابع دز شعاعی در این بافت‌ها دستخوش تغییرات چندانی نسبت به فانتوم آب خواهند بود.

در شکل ۵-الف به مقایسه این داده‌ها، با نتایج حاصل از فانتوم آب پرداخته‌ایم. در شکل ۵-ب نیز نسبت تابع دز شعاعی در بافت‌های چربی، ماهیچه، ریه، سینه، مغز و بافت نرم (با چگالی و عناصر سازنده متفاوت) به تابع دز شعاعی در فانتوم آب ارائه شده است. همان‌طور که در شکل ۵-ب مشاهده می‌شود، به دلیل آنکه بافت چربی دارای عناصر سازنده‌ای با درصد وزنی پایین‌تر نسبت به آب است، در فواصل کوچک‌تر از ۱ cm اختلاف نسبی بیشینه‌ای در حدود ۱۱/۵٪ نسبت به فانتوم آب را ایجاد خواهد کرد، و با افزایش فاصله از مرکز چشمۀ این اختلاف نسبی به شدت افزایش می‌یابد به طوری که در فاصله ۵ cm به ۶۸/۷٪ نیز خواهد رسید. بافت سینه دارای عناصر سازنده بیشتری نسبت به بافت ماهیچه است و اختلاف نسبی کمتری را نسبت به فانتوم آب نشان می‌دهد.



شکل (۵): الف) مقایسه تابع دز شعاعی محاسبه شده توسط کد GATE در بافت‌های چربی، سینه، ماهیچه، ریه، مغز، بافت‌های نرم و فانتوم آب. ب) نسبت تابع دز شعاعی در بافت‌های مختلف به تابع دز شعاعی در فانتوم آب.

I-125 مدل ۶۷۱۱ به کمک کد GATE نسخه ۸/۱ پرداخته و نتایج به دست آمده با نتایج حاصل از سایر پژوهش‌ها مقایسه شده است. مقایسه داده‌های به دست آمده از کد GATE با

به دلیل محدودیت‌های بسیار زیاد استفاده از روش تجربی برای تعیین دقیق پارامترهای دزیمتری کپسول‌های برآکی تراپی، در این مقاله به بررسی پارامترهای دزیمتری کپسول برآکی تراپی

#### ۴. نتیجه‌گیری

بافت‌ها با آب اختلاف نسبی در تعیین پارامتر تابع دز شعاعی کاملاً مشهود است که این اختلاف نسبی در بافت چربی بیشتر از بافت‌های دیگر خواهد بود، زیرا بافت چربی دارای عناصر سبک‌تر با ترکیبات و درصد وزنی پایین‌تر از آب می‌باشد. به دلیل آنکه در تکنیک برآکی‌ترابی هدف رساندن حداکثر دز به تومور در حالی که کمترین میزان دز به بافت‌های سالم مجاور بررسد، می‌باشد، به همین دلیل در درمان تومورهایی که در مجاورت بافت‌های مختلف قرار دارند باید تصحیحات لازم برای تعیین این پارامترها در برنامه‌های طراحی درمان اعمال شود.

داده‌های پژوهش‌های دیگر تطابق بسیار خوب این نتایج را نشان می‌دهد که با توجه به پایین بودن انرژی چشمه I-125 و تغییرات شدید دز ناشی از آن در فواصل دور از چشمه می‌توان پارامترهای دزیمترا مطرح شده توسط AAPM این چشمه برآکی‌ترابی را با استفاده از این کد با دقت بالایی مدل‌سازی کرد. از طرفی، برای بررسی اختلاف نسبی میان پارامتر تابع دز شعاعی در بافت‌های مختلف و فانتوم آب به محاسبه این پارامتر در بافت‌های چربی، ماهیچه، ریه، مغز، دو بافت مختلف نرم و سینه نیز پرداخته شد و نتایج به دست آمده با حالتی که از محیط آب برای تعیین این پارامتر استفاده می‌شود، مقایسه شده است. به علت تفاوت در چگالی و ترکیبات سازنده این

## ۵. مراجع

- [1] A.V. Rodriguez, P.Q. Alcona, M.L. Rodriguez, F. Gutt and E. Almeida. Dosimetric parameters estimation using PENELOPE Monte Carlo simulation code: Model 6711 a 125I brachytherapy. *Appl Radiat Isot.* 63(1) (2005) 41–48.
- [2] R. Rajabi and P. Taherparvar. Monte Carlo dosimetry for a new 32P brachytherapy source using FLUKA code. *J Contemp Brachytherapy.* 11(1) (2019) 76–90.
- [3] Z. Fardi and P. Taherparvar. A Monte Carlo investigation of the dose distribution for new I-125 Low Dose Rate brachytherapy source in water and in different media. *Polish Journal of Medical Physics and Engineering.* 25(1) (2018) 15–22.
- [4] M.J. Rivard, B.M. Coursey, L.A. DeWerd, W.F. Hanson, M.S. Huq, G.S. Ibbott, M.G. Mitch, R. Nath and J.F. Williamson. Update of AAPM Task Group No.43 Report: A revised AAPM protocol for brachytherapy dose calculations. *Med Phys.* 31(3) (2004) 633–674.
- [5] A.A. Molavi, A. Binesh and H. Moslehitarbar. Dose distribution and dosimetry parameters calculation of MED3633 palladium-103 source in water phantom using MCNP. *Iran J Radiat Res.* 4(1) (2006) 15–19.
- [6] K. Weaver. Anisotropy functions for I-125 and Pd-103 sources. *Med Phys.* 25(12) (1998) 2271–2278.
- [7] P. Taherparvar and A. Sadremontaz. Development of GATE Monte Carlo simulation for a CsI pixelated gamma camera dedicated to high resolution animal SPECT. *Australas Phys Eng Sci Med.* 41(1) (2018) 31–38.
- [8] P. Papadimitroulas. Using GATE for radiation therapy applications. *Physica Medica.* 32(3) (2016) 190–191.
- [9] H. Badry, L. Oufni, H. Ouabi and H. Hirayama. A Monte Carlo investigation of the dose distribution for 60Co High Dose Rate brachytherapy source in water and in different media. *Applied Radiation and Isotopes.* 136 (2018) 104–110.
- [10] M. Ghorbani, F. Salahshour, A. Haghparast, T. Ahmadi Moghaddas and C. Knaup. Effect of tissue composition on dose distribution in brachytherapy with various photon emitting sources. *Contemp Brachytherapy.* 6(1) (2014) 54–67.
- [11] ICRU Report No. 44, Tissue substitutes in radiation dosimetry and measurement. ICRU, Bethesda (1989).
- [12] M.J. Rivard. Monte Carlo radiation dose simulations and dosimetric comparison of the model 6711 and 9011 125I brachytherapy sources. *Med Phys.* 36(2) (2009) 486–491.